

ガウス過程状態空間モデルによる非線形な準周期的現象の予測

玉森 聰 モデリング研究系 特任研究員

2015年6月19日 統計数理研究所 オープンハウス

研究背景

身の回りの様々な周期的現象

- ・捕食-非捕食関係にある生物の個体数
- ・太陽活動(ex.黒点数)や大気海洋相互作用(ex.エルニーニョ現象)
- ・生体リズム(睡眠, 心拍, 脳波, 基礎体温など)
⇒非線形な変動かつ周期に揺らぎ(準周期性)

非線形な準周期的現象の予測により得られるメリット

- ・生体リズムを考慮した投薬計画や医薬品開発
- ・経済指標の予測精度向上に伴う最適な設備投資額の決定
- ・基礎体温や月経周期の予測による女性のQOL向上 など

周期変動データのための時系列解析の手法

- ・SARIMAモデル, 季節調整モデルなどの状態空間モデル
- ・問題点: 自然現象のモデリングには不適(周期固定など) & 周期自体の定量的予測はあまり顧みられてこなかった

ガウス過程状態空間モデルによる準周期的現象のモデル化

- ・位相を潜在変数として導入 ⇒ 位相のゆらぎを表現
- ・未知の非線形関数をノンパラメトリックに自動選択
- ・逐次ベイズフィルタに基づいた位相の逐次予測手法を導出
⇒周期の定量的予測手法を実現

準周期的現象を高精度に予測可能な手法の実現

状態空間モデル

$$x_t \sim p(x_t | x_{t-1}) \quad (\text{システムモデル})$$

$$y_t \sim p(y_t | x_t) \quad (\text{観測モデル})$$

x_t : 状態変数

y_t : 観測変数

- ・マルコフ性を仮定 ⇒ 条件付き分布を簡略化

- ・漸化式による効率的な状態推定(一期先予測, フィルタ, 平滑化)

- ・観測変数が二項分布やポアソン分布に従う場合もモデル化可能

ガウス過程

確率変数の有限個の集まりが結合ガウス分布に従う性質

$$f(x) \sim \mathcal{GP}(m(x), k(x, x'))$$

$$\text{平均関数 } m(x) = \mathbb{E}[f(x)]$$

⇒ 平均関数と共分散関数による特徴付け

$$\text{共分散関数 } k(x, x') = \text{Cov}(f(x), f(x'))$$

- ・共分散関数により複雑な相関関係を扱うことが可能(周期性など)

- ・具体的な関数形をデータ駆動でノンパラメトリックに決定

非線形な準周期的現象のモデル化

モデリングの対象: 女性の基礎体温と月経周期

第 n 日目の位相(潜在変数) θ_n $\begin{cases} 0 \leq \theta_n \leq 1 \\ \text{第 } n \text{ 日目が月経開始日のとき } \theta_n = 1 \end{cases}$
第 n 日目の体温(観測変数) y_n $\begin{cases} \text{その後 } \theta_n = 0 \text{ にリセット} \end{cases}$

状態空間モデルによる定式化

$$\theta_n = \theta_{n-1} + \epsilon_n \quad \text{mod } 1 \quad \epsilon_n \sim \text{ga}(\alpha, \beta) : \text{ガンマ分布}$$

$$y_n = g(\theta_n) + \sigma_n \quad \sigma_n \sim \mathcal{N}(0, \sigma^2) : \text{ガウス分布}$$

$$g(\theta_n) = a_0 + \sum_{m=1}^M [a_m \cos(2m\pi\theta_n) + b_m \sin(2m\pi\theta_n)] \quad (\text{次数 } M \text{ の級数近似})$$

逐次予測手法(右上へ続く)

- ・第 n 日目から第 k 日目($n \leq k$)までに加えられる位相の増分

$$\Delta(k | n) \stackrel{\text{def}}{=} \epsilon_n + \epsilon_{n+1} + \dots + \epsilon_k \quad \Delta(k | n) \sim \text{ga}(k\alpha, \beta) \quad (\text{再生性})$$

- ・第 k 日目が次回月経開始日となる事象 $\Delta(k | n) > 1 - \theta_n$

- ・次回月経開始日を迎えるための位相の増分は $1 - \theta_n \quad \text{mod } 1$

逐次予測手法(左下からの続き)

- ・事象が実現する確率(=条件付き累積分布関数)

$$F(k | \theta_n) \stackrel{\text{def}}{=} \Pr(\Delta(k | n) > 1 - \theta_n) = \int_{1-\theta_n}^{\infty} \text{ga}(x; k\alpha, \beta) dx$$
$$= 1 - \text{Ga}(1 - \theta_n; k\alpha, \beta) \quad \text{ガンマ分布の累積分布関数}$$

- ・条件付き確率質量関数の計算

$$p(k | \theta_n) \stackrel{\text{def}}{=} F(k | \theta_n) - F(k-1 | \theta_n)$$
$$= \text{Ga}(1 - \theta_n; (k-1)\alpha, \beta) - \text{Ga}(1 - \theta_n; k\alpha, \beta)$$

- ・予測分布の計算

$$p(k | y_{1:n}) \stackrel{\text{def}}{=} \int p(k | \theta_n) p(\theta_n | y_{1:n}) d\theta_n$$

時刻 n におけるフィルタ分布

- ・予測値の計算

$$k_{max} = \underset{k}{\operatorname{argmax}} p(k | y_{1:n})$$

ガウス過程状態空間モデルによる定式化

$$f(\theta) \sim \mathcal{GP}_f(m_f(\theta; \Phi_f), k_f(\theta, \theta'; \Theta_f))$$
$$\theta_n = f(\theta_{n-1}) + \epsilon_n \quad \text{mod } 1, \quad \epsilon_n \sim \text{ga}(\alpha, \beta)$$

$$g(\theta) \sim \mathcal{GP}_g(m_g(\theta; \Phi_g), k_g(\theta, \theta'; \Theta_g))$$
$$y_n = g(\theta_n) + \sigma_n, \quad \sigma_n \sim \mathcal{N}(0, \sigma^2)$$

Φ_f, Θ_f : ハイパパラメータ
 Φ_g, Θ_g : ハイパパラメータ

⇒ 状態/観測関数, ハイパパラメータを Particle MCMC 法により推定

逐次予測手法

- ・予測分布の計算 ⇒ フィルタ分布のモンテカルロ積分による近似
- ・予測値の計算 ⇒ 状態空間モデルによる定式化と同様

実験

女性の基礎体温データから次回月経開始日を予測

実験条件

- ・学習データ: 30代女性の口腔計測 日次体温データ130日分

- ・テストデータ: 同女性の口腔計測 日次体温データ311日分

- ・Particle MCMC
サンプリング回数10000,
粒子数5000

- ・GPのカーネル関数: RBFカーネル

比較手法: 前月の月経開始日から28日&31日後を予測日とする手法

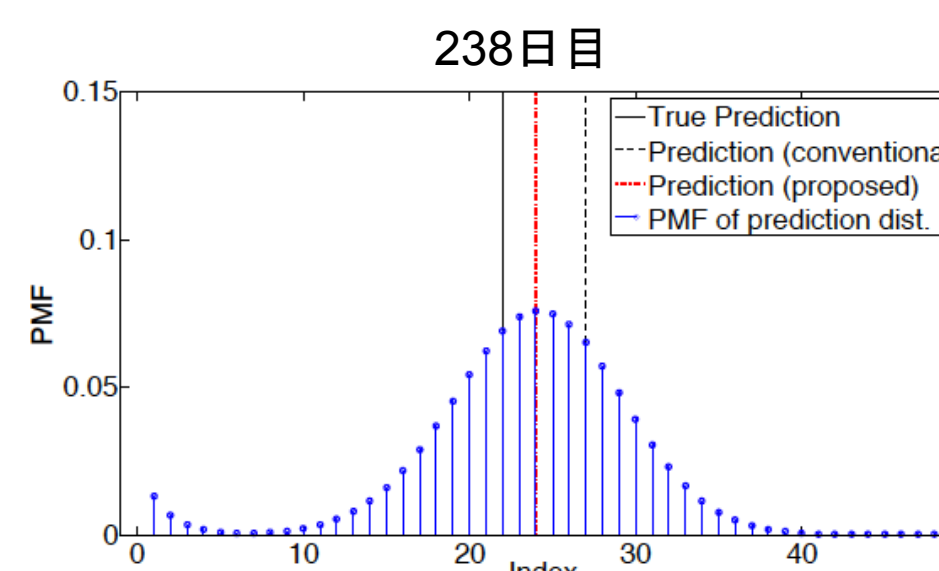
評価基準: 最小二乗誤差(RMSE)

および最小絶対誤差(MAE)

実験結果: 31日後に予測する手法からの精度改善を確認

今後の課題

- ・観測の異常値に対しても頑健なモデリング手法の検討
- ・SARIMAモデルや季節調整モデルとの比較実験
- ・周期カーネルを適用した比較実験
- ・被験者数を増やした実験



予測の例: 青のプロットが予測分布, 黒線が次回月経開始日までの日数(真の予測値), 赤点線が提案法の予測値, 黒点線が比較手法の予測値. 横軸は予測分布のインデックス k , 縦軸は予測分布の値を表す

